

## РАЗРАБОТКА СИСТЕМЫ МЕХАНИЗИРОВАННОЙ ПОДАЧИ СТАРТОВОЙ СМЕСИ В КАНАЛ КОВШОВОГО ЗАТВОРА

С. П. ЕРОНЬКО, д-р техн. наук, [ersp@meta.ua](mailto:ersp@meta.ua); С. В. МЕЧИК,  
М. Ю. ТКАЧЕВ, И. С. ПОГОРЕЛОВ, Е. С. САРКИСЯН  
(ГОУ ВПО "Донецкий национальный технический университет")

Одной из обязательных операций при подготовке сталеразливочного ковша к приему металла очередной плавки является заполнение его выпускного канала так называемой стартовой смесью — порошкообразным или мелкозернистым материалом, который не спекается при температурах 1600–1650 °C, не смачивается жидкойстью и обладает высокой текучестью. Благодаря указанным свойствам данный материал при первом открывании затвора беспрепятственно высыпается из канала ковша, что позволяет начать разливку стали в штатном режиме [1].

Подачу смеси в канал разливочного стакана, размещенного в толще футеровки днища ковша, осуществляют либо из опущенного краном в его полость кессона, установленного над гнездовым блоком, либо с использованием наклонной трубы, нижний конец которой удерживает над входным отверстием стакана, и через закрепленную на ее верхнем конце воронку из мерной емкости подают сыпучий материал [2]. Такая практика связана с применением ручного труда, а также с необходимостью соблюдения специальных мер безопасности.

В конвертерном цехе одного из украинских металлургических предприятий была также опробована схема подачи материала с помощью бункера, имеющего в нижней части заслонку и установленного на поворотной консоли на одной вертикальной оси с каналом разливочного ковша. После открытия заслонки порошкообразный материал самотеком ссыпается в зону размещения входного отверстия выпускного канала [3]. При этом из-за воздействия восходящих конвективных потоков нагретого воздуха на вертикальную струю мелкодисперсного материала, истекающую из бункера с высоты нескольких метров, некоторая его часть рассеивается в полости ковша, что приводит к повышенному расходу стартовой смеси.

С учетом отмеченных негативных факторов сотрудниками кафедры механического оборудования заводов черной металлургии Донецкого национального технического университета разработана система механизированной подачи сы-

пучих материалов в выпускной канал разливочного ковша, схематично показанная на рис. 1. Она включает: поворотную колонну 14, установленную на основании 17 и несущую консоль, выполненную из двух балок 13, жестко связанных поперечиной 3. Вдоль балок расположены направляющие для колесных пар подвижной тележки 7, поддерживающей бункер 5 с прикрепленным к его нижней части гибким металлическим рукавом 2. Привод перемещения тележки, состоящий из реверсивного червячного мотор-редуктора 11 с закрепленной на его выходном валу ведущей звездочкой 12, посредством пластичной цепи 9 передает через ведомую звездочку 6 вращение валу, установленному в подшипниковых опорах на поперечине 3. При этом пластичная цепь, обвивающая звездочки 6 и 12, своими концами связана с рамой тележки с помощью натяжных винтов и сообщает ей поступательное движение по направляющим вдоль консоли. Нижняя ветвь пластинчатой цепи 9 поддерживается несколькими скользунами 10, что уменьшает ее провисание.

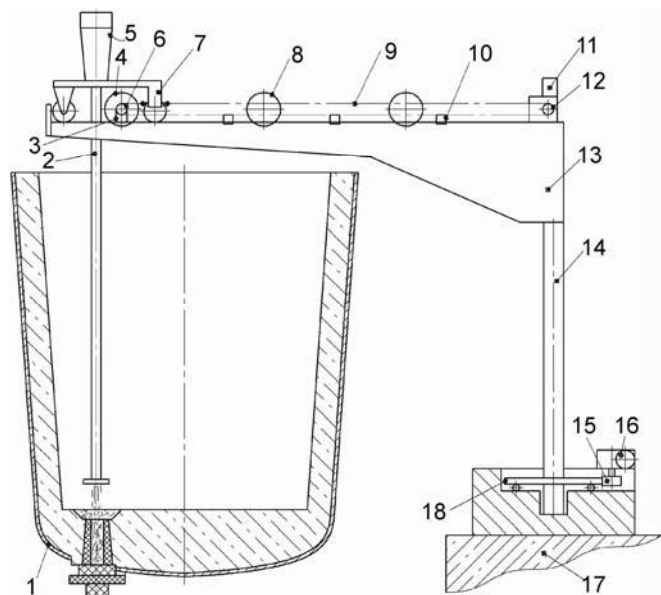


Рис. 1. Конструкция системы механизированной подачи стартовой смеси в канал ковшового затвора

Между подшипниками опорами на валу ведомой звездочки 6 в средней его части жестко закреплен шкив 4, имеющий кольцевую канавку, форма которой соответствует половинному по-перечному сечению металлорукава 2. Причем диаметр шкива по максимальному углублению продольной канавки равен диаметру ходового колеса тележки. Вдоль консольной балки в одной вертикальной плоскости с одинаковым шагом установлены несколько свободно вращающихся на осях направляющих роликов 8, препятствующих провисанию металлорукава при нахождении его в горизонтальном положении. Для поворота всей системы относительно стаперазливочного ковша 1 служит электромеханический привод, состоящий из червячного мотор-редуктора 16 с вертикальным валом, на хвостовике которого закреплена прямозубая шестерня 15, находящаяся в зацеплении с зубчатым венцом опорного диска 18, удерживающего поворотную колонну 14.

Система размещена на участке обслуживания стаперазливочных ковшей и функционирует следующим образом. Стаперазливочный ковш по завершении операций, связанных с осмотром и обслуживанием его разливочного узла (промывка кислородом выпускного канала для удаления застывших остатков шлака и металла, закрытия затвора), устанавливают краном в обозначенном месте возле поворотной колонны при отведенной в сторону консоли и находящейся в исходном положении тележке с заполненным бункером. Затем колонну поворачивают на требуемый угол и останавливают с таким расчетом, чтобы продольная ось симметрии консоли проходила над центром выпускного канала ковша. Далее с помощью цепного привода тележку переводят в рабочую позицию. Во время поступательного движения тележки, благодаря равенству диаметров ее ходового колеса и шкива в месте контакта сгибающим его металлорукавом, последний будет перемещаться синхронно с тележкой. В результате этого свободный конец металлорукава совершает вертикальное движение вниз и в момент перехода тележки в рабочую позицию окажется непосредственно над входным отверстием канала разливочного ковша. При этом металлорукав выпрямится, образуя вертикальный подающий тракт, по которому стартовая смесь, обладающая высокой текучестью, начнет ссыпаться из бункера в выпускной канал ковша, не подвергаясь воздействию воздушных конвективных потоков. Как только бункер опорожнится, тележку переводят в положение парковки и металлорукав, связанный верхним концом с бункером, окажется уложенным на направляющие ролики. Перед началом транспортировки ковша краном к стапелевильному агрегату для приема металла очередной

плавки необходимо отвернуть консоль в исходное положение.

Проектированию промышленного образца предложенной системы предшествовала разработка методики расчета конструктивных и энергосиловых параметров механизмов поворота колонны и перемещения тележки.

В соответствии с расчетной схемой, приведенной на рис. 2, на элементы механизма поворота колонны действуют силы тяжести самой колонны  $G_k$ , опорного диска  $G_{od}$ , несущей консоли  $G_{hk}$ , тележки с бункером  $G_t$  и находящейся в нем стартовой смеси  $G_{cm}$ , привода механизма перемещения тележки  $G_{pt}$ , металлорукава  $G_p$  и пластинчатой цепи  $G_c$ .

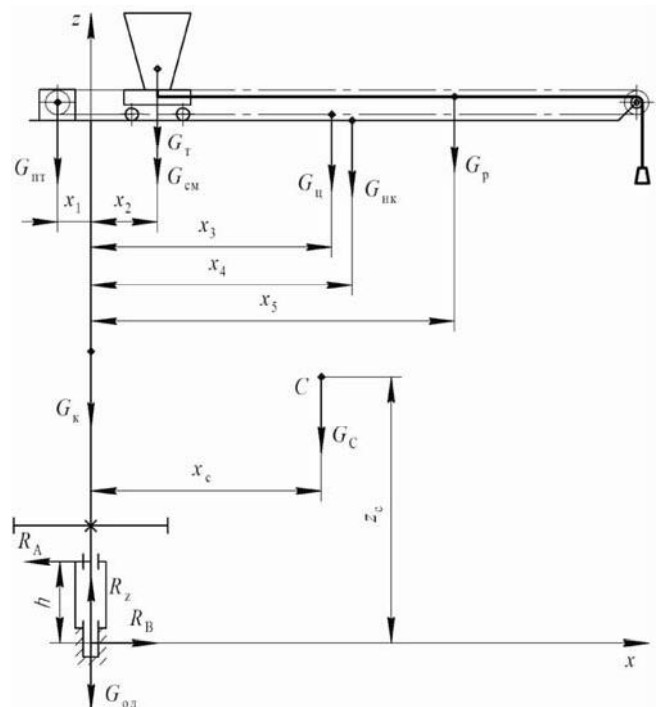


Рис. 2. Расчетная схема привода механизма поворота колонны

Предварительно необходимо определить координаты центров тяжести отдельных узлов, а затем — общие координаты центра масс всего поворотного механизма системы:

$$x_c = \frac{\sum x_i m_i}{M}, \quad y_c = \frac{\sum y_i m_i}{M}, \quad z_c = \frac{\sum z_i m_i}{M},$$

где  $x_i, y_i, z_i$  — координаты центров масс составных элементов поворотного механизма, кг;  $m_i$  — массы отдельных элементов, кг;  $M$  — общая масса поворотного механизма системы, кг.

Определение реакций опор:

— вертикальная в под пятнике

$$R_z = G_c = Mg,$$

где  $G_c$  — общая сила тяжести поворотной системы манипулятора, Н;

$$R_A = R_B = \frac{G_c x_c}{h},$$

где  $x_c$  — расстояние от оси центра тяжести системы до оси вращения колонны, м;  $h$  — расстояние между подшипниками опорами, м.

Статический момент от сил трения в опорах относительно оси колонны

$$M_c = R_A r_A \mu_1 + R_B r_B \mu_1 + R_z r_n \mu_2,$$

где  $r_A, r_B, r_n$  — радиусы цапф опор  $A, B$  и упорного подшипника соответственно, м;  $\mu_1$  — коэффициент трения в радиальных подшипниках;  $\mu_2$  — коэффициент трения в опорном подшипнике.

Динамический момент при пуске привода

$$M_d = J \varepsilon,$$

где  $J$  — суммарный момент инерции системы относительно оси  $Z$ ;  $\varepsilon$  — угловое ускорение системы при времени ее разгона  $t_p$ .

Суммарный момент инерции системы относительно оси  $Z$

$$J = \sum (J_{ci} + m_i x_i^2),$$

где  $J_{ci}$  — момент инерции структурного элемента системы относительно оси, проходящей через его центр массы.

Угловое ускорение системы

$$\varepsilon = \frac{\omega_k}{t_p},$$

где  $\omega_k$  — заданная угловая скорость поворота колонны,  $\text{с}^{-1}$ .

Статическая мощность привода

$$N_c = \frac{M_c \omega_k}{\eta_m},$$

где  $\eta_m$  — коэффициент полезного действия механизма.

Общее передаточное число привода механизма поворота колонны

$$i_o = i_1 i_{cp} = \frac{\omega_{dv}}{\omega_k},$$

где  $i_1$  — передаточное число прямозубой зубчатой передачи;  $i_{cp}$  — передаточное число червячного редуктора;  $\omega_{dv}$  — угловая скорость вала электродвигателя,  $\text{с}^{-1}$ .

Выбранный по каталогу двигатель следует проверить на пусковую способность:

$$\frac{M_c + M_d}{M_n i_o} \leq \lambda,$$

где  $M_n$  и  $\lambda$  — паспортное значение номинального момента и средняя кратность пускового момента выбранного двигателя соответственно.

Для расчета энергосиловых параметров привода передвижения тележки следует рассмотреть два положения механизма:

1) тележка с загруженным стартовой смесью бункером начинает движение из положения парковки в рабочую позицию (рис. 3, а), при этом большая часть металлорукава находится в горизонтальном положении;

2) тележка с порожним бункером начинает движение из рабочей позиции в положение парковки (рис. 3, б), при этом металлорукаев находятся в вертикальном положении.

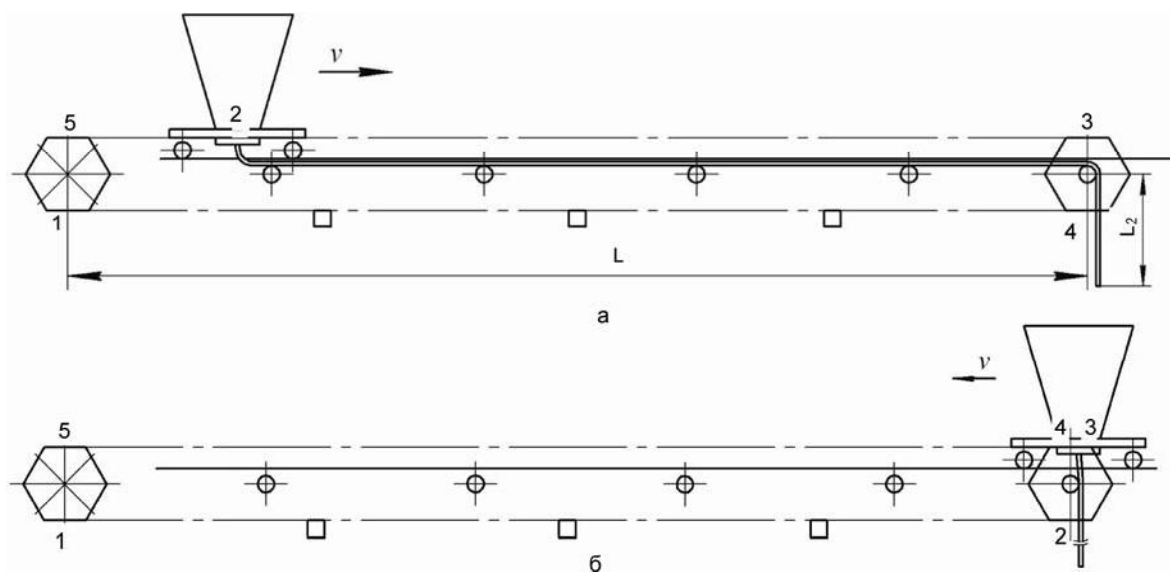


Рис. 3. Расчетные схемы механизма перемещения тележки для первого (а) и второго (б) положений

Принимаем следующие обозначения:

$q_u$  — вес 1 м приводной цепи, Н/м;  $q_p$  — вес 1 м металлорукава, Н/м;  $G_{cm}$  — сила тяжести стартовой смеси, загруженной в бункер, Н;  $G_t$  — сила тяжести тележки, Н;  $L$  — расстояние между осями приводной и натяжной звездочек, м;  $L_p$  — длина металлорукава, м;  $L_2$  — длина вертикальной части металлорукава в первом положении механизма, м.

При движении тележки из положения парковки в рабочую позицию (см. рис. 3, а) минимальное натяжение цепи будет в точке 1. По рекомендациям работы [4] можно принять  $S_1 = S_{min} = 1000\text{--}2000$  Н.

Натяжение цепи в точке 2:

$$S_2 = S_1 + \left( \frac{q_u L}{2} + G_t + G_{cm} \right) f_1 + q_p L_p f_2 q_p L_2,$$

где  $f_1$  — коэффициент сопротивления движению тележки;  $f_2$  — коэффициент сопротивления движению металлорукава по направляющим роликам:

$$f_1 = \frac{\mu d + 2k}{D} k_p, \quad f_2 = \frac{\mu d_h + 2k_h}{D_h} k_{hp},$$

где  $\mu$  — коэффициент трения скольжения в подшипниках колес и направляющих роликов;  $d, d_h$  — диаметр цапф колес тележки и направляющих роликов соответственно, мм;  $k, k_h$  — коэффициенты трения качения колес тележки по рельсам и направляющих роликов по металлорукаву, мм;  $k_p, k_{hp}$  — коэффициенты увеличения сопротивления от трения реборд колес тележки о рельсы и металлорукава о профилированные канавки направляющих роликов,  $k_p = k_{hp} = 1,2\text{--}1,5$  [4];  $D, D_h$  — диаметры колес тележки и направляющих роликов, мм.

Натяжение цепи в точке 3:

$$S_3 = S_2.$$

Натяжение цепи в точке 4:

$$S_4 = kS_3,$$

где  $k$  — коэффициент увеличения натяжения цепи при огибании звездочки,  $k = 1,08\text{--}1,12$  [4].

Натяжение цепи в точке 5:

$$S_5 = S_4 + q_u L \omega,$$

где  $w$  — коэффициент сопротивления движению цепи по опорным скользунам.

Тяговое усилие

$$W = S_5 - S_1 + (k - 1)(S_5 + S_1).$$

Мощность привода

$$N = \frac{(W + F_u)v}{\eta},$$

где  $v$  — скорость движения тележки, м/с;  $\eta$  — коэффициент полезного действия механизма передвижения тележки;  $F_u$  — сила инерции, действующая на систему в период пуска, Н:

$$F_u = \frac{G_t + G_{cm} + G_p}{g} a,$$

где  $a$  — ускорение при пуске, которое можно принять равным 0,2 м/с<sup>2</sup>, как для мостовых кранов и тележек общего назначения при гибкой подвеске груза [4];  $g = 9,8$  м/с<sup>2</sup> — ускорение силы тяжести.

При движении тележки из рабочей позиции в парковочную (см. рис. 3, б) минимальное натяжение цепи, принимаемое равным  $S_1 = S_{min} = 1000\text{--}2000$  Н, будет в точке 1.

Натяжение цепи в точке 2:

$$S_2 = S_1 + q_u L w,$$

Натяжение цепи в точке 3:

$$S_3 = kS_2.$$

Натяжение цепи в точке 4:

$$S_4 = S_3 + \left( \frac{q_u L}{2} + G_t \right) \omega_1 + q_p L_p k_1,$$

где  $k_1$  — коэффициент увеличения сопротивления движению при огибании металлорукавом крайнего направляющего ролика на угол до 90 град.,  $k_1 = 1,03$  [3].

Натяжение цепи в точке 5:

$$S_5 = S_4.$$

Тяговое усилие

$$W = S_5 - S_1 + (k - 1)(S_5 + S_1).$$

Мощность привода

$$N = \frac{(W + F_u)v}{\eta},$$

где  $F_u$  — сила инерции, действующая на систему в период пуска, Н:

$$F_u = \frac{G_t + G_p}{g} a.$$

По наибольшему из рассчитанных значений мощности привода для каждого из двух положе-

ний механизма и с учетом повторно-кратковременного режима работы механизма выбирают из каталога электродвигатель ближайшей меньшей мощности. Выбранный электродвигатель необходимо проверить на пусковую способность и нагрев.

Передаточное число редуктора привода

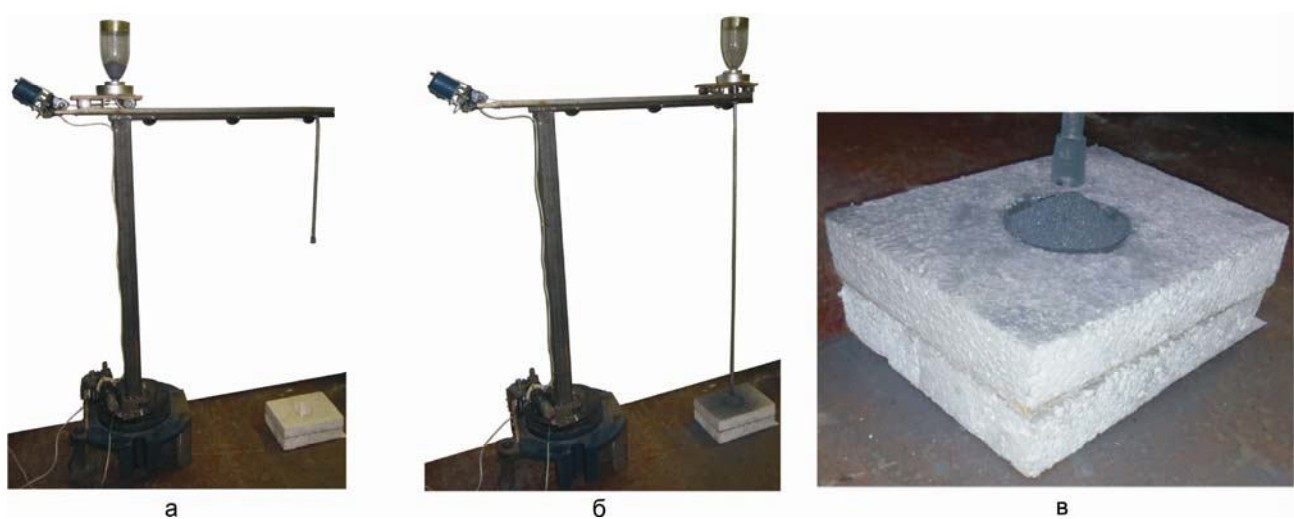
$$i_p = \frac{\omega_{\text{дв}}}{\omega_{\text{зв}}},$$

где  $\omega_{\text{дв}}$  — угловая скорость вала двигателя;  $\omega_{\text{зв}}$  — угловая скорость приводной звездочки:

$$\omega_{\text{зв}} = \frac{2v}{D_3},$$

где  $v$  — скорость движения тележки, м/с;  $D_3$  — диаметр делительной окружности приводной звездочки, м.

Для экспериментальной проверки правильности принятых технических решений и корректности методики расчета конструктивных и энергосиловых параметров механизмов системы подачи стартовой смеси спроектировали и изготовили ее лабораторный образец (рис. 4).



**Рис. 4. Лабораторный образец системы механизированной подачи стартовой смеси в канал ковшового затвора в исходном (а) и конечном (б) положениях и гнездовой блок модели ковша с заполненным смесью выпускным каналом (в)**

В ходе проводившихся тестовых испытаний осуществляли контроль точности позиционирования подающего металлорукафа относительно центральной продольной оси модели выпускного канала сталеразливочного ковша, а также стабильности процесса его заполнения сыпучим материалом. При этом проверили функционирование механизмов поворота колонны и передвижения тележки и оценили вносимую ими долю погрешности позиционирования металлорукафа относительно выпускного канала ковша. С этой целью предварительно выполнили настройку концевых выключателей, обеспечивающих остановку подвижных элементов исследуемой системы в нужных положениях относительно емкости, имитирующей верхнюю часть выпускного канала сталеразливочного ковша. Затем много-кратно осуществляли перевод системы из исходного положения в рабочее и визуально контролировали процесс взаимодействия подвижно со-пряженных деталей и точность подачи сыпучего материала в полость модели выпускного канала ковша. За абсолютную погрешность позиционирования принимали измеренное смещение оси

металлорукафа относительно оси выпускного канала. Относительную погрешность позиционирования рассчитывали как отношение абсолютной погрешности к максимальному расстоянию  $L_{\max}$  от оси ближайшей к основанию системы кинематической пары (т. е. поворотной колонны) до границы рабочей зоны:

$$\Delta_{\text{отн}} = \frac{\Delta_{\text{абс}}}{L_{\max}} \cdot 100 \, \%$$

Усредненное значение относительной погрешности позиционирования при моделировании определяли как среднеквадратическое по результатам 10 измерений. По полученным данным путем пересчета с использованием линейного масштаба лабораторного образца системы определили значения обеспечиваемых абсолютной и относительной погрешностей позиционирования промышленных систем, предназначенных для обслуживания сталеразливочных ковшей вместимостью 50, 100 и 250 т. Экспериментальная проверка функционирования механиз-

мов предложенной системы механизированной подачи стартовой смеси подтвердила их работоспособность и обеспечение ими точности позиционирования металлорукава, требуемой для подачи сыпучего материала в выпускной канал разливочного ковша. Колебание металлорукава во время его опускания практически отсутствовало.

С учетом результатов лабораторных исследований и с использованием описанной выше методики рассчитали основные параметры промышленных систем, предназначенных для обслуживания сталеразливочных ковшей различной вместимости (см. таблицу), и выполнили их рабочие проекты для потенциальных заказчиков.

#### РАСЧЕТНЫЕ ПАРАМЕТРЫ МЕХАНИЗМОВ СИСТЕМЫ ПОДАЧИ СТАРТОВОЙ СМЕСИ

Вместимость ковша, т	Механизм поворота колонны				
	скорость поворота, рад/с	мощность привода, кВт	абсолютная погрешность позиционирования, град.	относительная погрешность позиционирования, %	масса, кг
50	0,26	0,3	0,3	0,5	600
100	0,26	0,5	0,4	0,7	1200
250	0,26	1,0	0,5	0,9	2200
Вместимость ковша, т	Механизм перемещения тележки				
	скорость движения, м/с	мощность привода, кВт	абсолютная погрешность позиционирования, мм	относительная погрешность позиционирования, %	масса, кг
50	0,3	0,12	10	0,3	120
100	0,4	0,15	15	0,4	200
250	0,5	0,2	20	0,5	320

Внедрение предложенной разработки позволит не только улучшить условия труда персонала сталеплавильных цехов, занятого подготовкой разливочных ковшей к приему жидкой

стали, но и повысить качество выполнения необходимых операций, а также обеспечить рациональное использование дорогостоящих стартовых смесей.

#### БИБЛИОГРАФИЧЕСКИЙ СПИСОК

1. Еронько, С. П. Разливка стали. Оборудование. Технология [Текст] / С. П. Еронько, С. В. Быковских. — Киев: Техніка, 2003. — 216 с.
2. Куклев, А. В. Практика непрерывной разливки стали [Текст] / А. В. Куклев, А. В. Лейтес. — М.: Металлургиздат, 2011. — 432 с.
3. Смирнов, А. Н. Непрерывная разливка стали [Текст] / А. Н. Смирнов, С. В. Куберский, Е. В. Штепан. — Донецк: ДонНТУ, 2011. — 482 с.
4. Иванченко, Ф. К. Расчеты грузоподъемных и транспортирующих машин [Текст] / Ф. К. Иванченко, В. С. Бондарев, Н. П. Колесник [и др.]. — Киев: Вища школа, 1978. — 576 с.